

Modélisation de mouvements de groupe

TIPE mathématiques appliquées et informatique pratique

Omar Bennouna

11 juin 2019

Motivation



Figure – Drone Intel

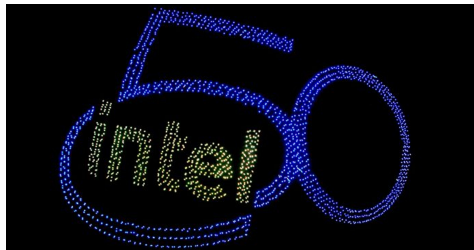


Figure – Spectacle de drones

- Spectacle de 2018 drones par Intel en Août 2018
- Comment gérer un tel mouvement ?

Motivation



Figure – Troupeau de poissons



Figure – Troupeau d'oiseaux

- On veut s'inspirer des mouvements observés dans la nature.

Préliminaires

- On cherche à gérer le mouvement d'un ensemble d'unités
- On veut s'inspirer des mouvements de groupe observés dans la nature : oiseaux, bancs de poissons, etc.
- Modèle discret : $\overrightarrow{OM}(t+1) = \overrightarrow{V}(t) + \overrightarrow{OM}(t)$
- Toutes les masses sont égales à 1
- 3 lois fondamentales proposées par Craig Reynolds
 - 1 **Séparation** : Garder une distance convenable des autres agents pour éviter les collisions et la surcharge
 - 2 **Alignement** : Se diriger vers la direction moyenne du troupeau
 - 3 **Cohésion** : Rester proche du troupeau pour éviter une dispersion des agents

Premier modèle et implémentation

- On commence par un premier modèle simple
 - ▶ 2 agents
 - ▶ Une force attractive : $\vec{F}_{attr} = \lambda \times \vec{r}_{i \rightarrow j}$
 - ▶ Une force répulsive $\vec{F}_{rep} = -\mu \times \frac{\vec{r}_{i \rightarrow j}}{\|\vec{r}_{i \rightarrow j}\|^2}$
- Positions stockées dans un `numpy.array list` tel que `pos[i][t]` représente la position de l'agent `i` à l'instant `t`.

Simulation et commentaires

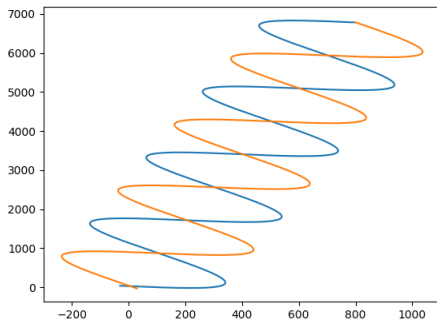


Figure – Simulation du premier algorithme
 $\lambda = 5 \times 10^{-4}$ $\mu = 4.5 \times 10^{-4}$

- Modèle inutilisable : présence d'oscillations parasites

Amélioration

- On ajoute une force qui amortit les oscillations qui obéit à la loi suivante :

$$\vec{F}_{am} = \begin{cases} \vec{V} \times (f - 1) & \text{si } \|\vec{V}\| \geq \|\vec{V}_{lim}\| \\ \vec{V} \times (f - 1) + (\|\vec{V}_{lim}\| - \|\vec{V}\|) \times \vec{v}_{inf} & \text{sinon} \end{cases}$$

- Avec :

- ▶ f coefficient d'amortissement inférieur à 1 strictement
- ▶ \vec{V}_{lim} la vitesse vers laquelle on veut converger
- ▶ $\vec{v}_{inf} = \frac{\vec{V}_{lim}}{\|\vec{V}_{lim}\|}$ le vecteur directeur de cette vitesse

Simulation et commentaires

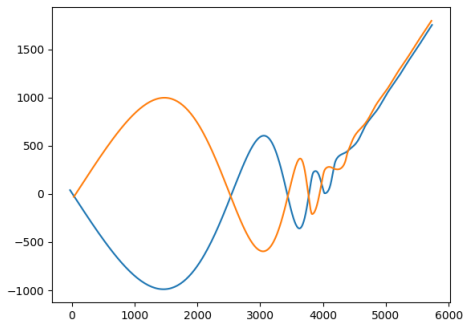


Figure – Simulation algorithme modifié

$$\lambda = 5 \times 10^{-4} \quad \mu = 1 \quad f = 9.9 \times 10^{-1}$$

Simulation et commentaires

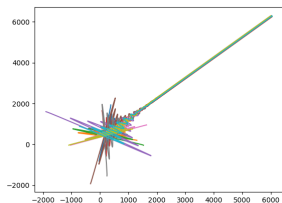


Figure – $\lambda = 5 \times 10^{-4}$
 $\mu = 1 \quad N = 10$

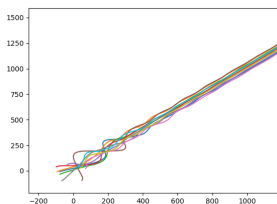


Figure – $\lambda = 5 \times 10^{-4}$
 $\mu = 1 \quad N = 10$

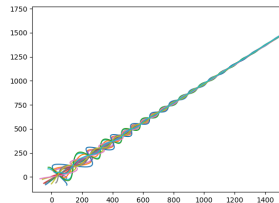


Figure – $\lambda = 5 \times 10^{-4}$
 $\mu = 5 \times 10^{-3} \quad N = 5$

- Lois 1, 2 et 3 respectées
- Mais le modèle n'est pas très réaliste :
 - ▶ Portée d'interaction infinie
 - ▶ Norme usuelle non différentiable en 0 et donc divergence de la vitesse
 - ▶ Concerne essentiellement les mouvements d'oiseaux voyageurs

Modèle plus réaliste

- On remplace $\|\cdot\|$ par $\|x\|_\sigma = \frac{\sqrt{1+\epsilon\|x\|^2}-1}{\epsilon}$ avec $\epsilon > 0$ qui est différentiable en 0.
- On utilise des graphes de proximité $G(t)=(V,E)$ dépendant du temps
 - ▶ Implémentation par matrice d'adjacence `numpy.array` symétrique $A = (a_{i,j})$ (graphe non orienté)
 - ▶ Interaction entre l'agent i et l'agent $j \iff a_{i,j} > 0 \iff d(i,j) < r$, avec r rayon maximal d'interaction
 - ▶ Coefficients varient d'une façon continuellement dérivable.
 - ▶ $a_{i,j} = C \times \rho_h\left(\frac{\|q_i - q_j\|_\sigma}{r_\sigma}\right)$ avec

$$\rho_h(x) = \begin{cases} 1 & \text{si } x \in [0, h[\\ \frac{1}{2}(1 + \cos(\pi(\frac{x-h}{1-h}))) & \text{si } x \in [h, 1] \\ 0 & \text{sinon} \end{cases} \quad \text{une fonction qui varie}$$

continuellement de 1 à 0, C une constante grace à laquelle A est bistochastique, et q_i la position de l'agent i .

Courbe de ρ_h

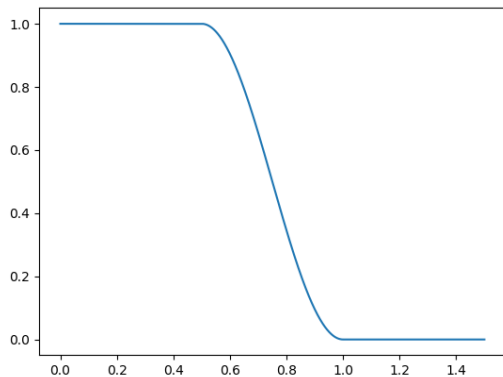


Figure – Fonction ρ_h pour $h = \frac{1}{2}$

Nouvelle démarche

- Le calcul de la vitesse à l'instant $t+1$ ayant celles de l'instant t :

- $\vec{V}_i(t+1) = \vec{V}_i(t) + \sum_{j \in N_i} (\vec{V}_j(t) - \vec{V}_i(t)) a_{i,j} + \vec{F}_{attr} + \vec{F}_{rep}$

- La relation précédente peut être écrite d'une façon plus concise :

$$V(t+1) = (M(t) + I)V(t) + F_a Q(t) + F_r(Q(t)),$$

- $V(t) = \begin{pmatrix} \vec{V}_1(t) \\ \cdot \\ \cdot \\ \cdot \\ \vec{V}_n(t) \end{pmatrix}$ et $Q(t) = \begin{pmatrix} \vec{q}_1(t) \\ \cdot \\ \cdot \\ \cdot \\ \vec{q}_n(t) \end{pmatrix}$

Nouvelle démarche

- ▶ $D = \text{diag}(\sum_{j=1, j \neq 1}^n a_{1,j}, \dots, \sum_{j=1, j \neq n}^n a_{n,j})$

- ▶ $M(t) = A + D$

- ▶ $F_a = \lambda \times (n \times D - A)$

- ▶ $F_r(Q) = -\mu \times \begin{pmatrix} \sum_{j=1, j \neq 1}^n \frac{(\vec{q}_j - \vec{q}_1) a_{1,j}}{\|\vec{q}_j - \vec{q}_1\|^2} \\ \vdots \\ \sum_{j=1, j \neq n}^n \frac{(\vec{q}_j - \vec{q}_n) a_{n,j}}{\|\vec{q}_j - \vec{q}_n\|^2} \end{pmatrix}$ opérateur non linéaire

- Calcul de la position à l'instant $t+1$

- ▶ $\vec{q}_i(t+1) = \vec{q}_i(t) + \vec{V}_i(t)$

- ▶ Vectoriellement $Q(t+1) = Q(t) + V(t)$

Simulation avec $r=+\infty$

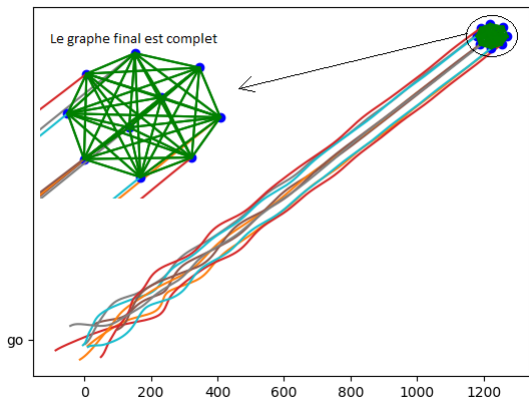


Figure – Test pour 10 agents
 $\lambda = 5 \times 10^{-4}$ $\mu = 1$ $r = +\infty$

Simulation avec r fini

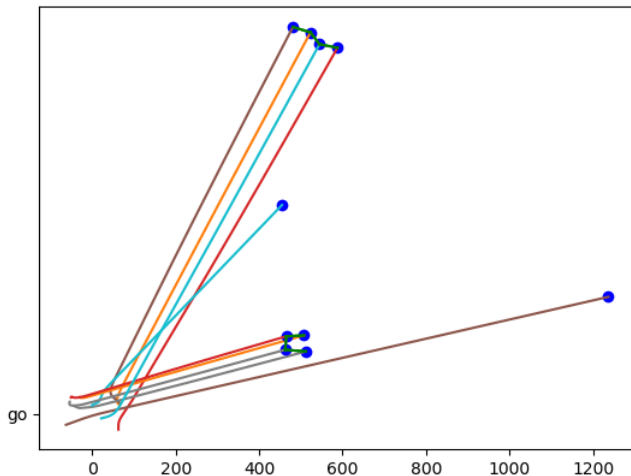


Figure – Test algorithme réaliste pour 10 agents

$$\lambda = 5 \times 10^{-4} \quad \mu=1 \quad r = 50$$

Ajout d'une cible

- On ajoute une cible que tous les agents doivent suivre de position $\overrightarrow{c(t)}$
- Exemples : leader du troupeau, proie, etc.
- La force exercée sur l'agent i sera $\overrightarrow{F}_{cible} = \gamma \times (\overrightarrow{c(t)} - \overrightarrow{q_i(t)})$ avec γ constante

Test1 : Mouvement de la cible rectiligne uniforme

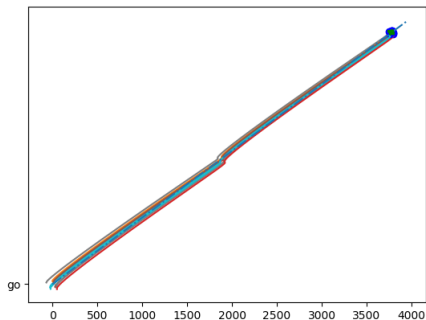


Figure – Test 1

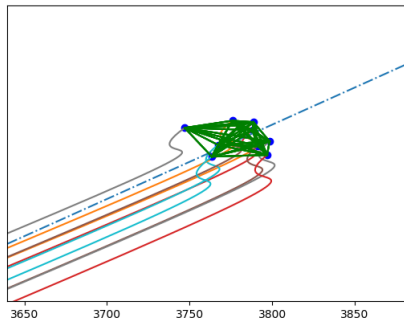


Figure – Zoom sur la figure précédente

- La trajectoire de la cible est en pointillés

Test2 : Mouvement de la cible circulaire uniforme

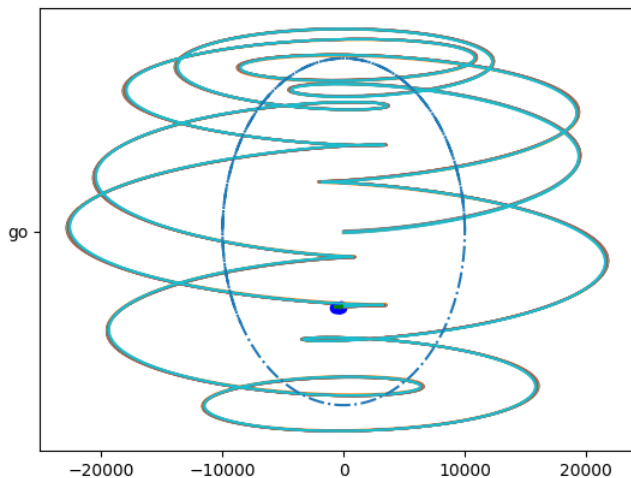


Figure – Test2

Remarques et amélioration

- Le modèle n'est pas optimal.
- On introduit une "Force attractive" dans l'espace des vitesses définie par $\vec{F}_{stab} = -k \times \left\| \vec{V}_{cible} - \vec{V}_{agent} \right\|^\beta \times (\vec{V}_{cible} - \vec{V}_{agent})$ avec k et β des constantes positive.
- β est décroissant avec les fluctuations.

Simulations

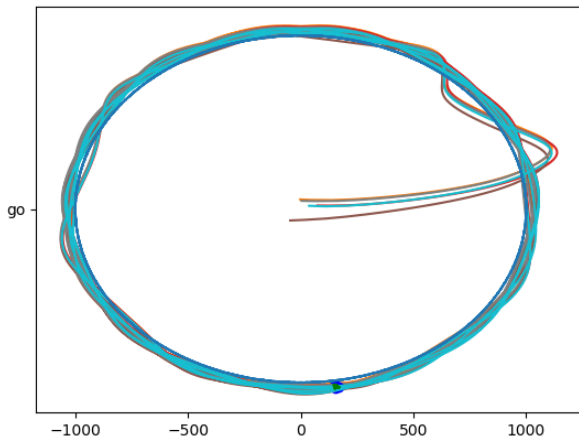


Figure – Simulation avec nouvelle règle
 $\beta = 1.5$

- La vitesse des agents converge bien vers celle de la cible.

Simulations

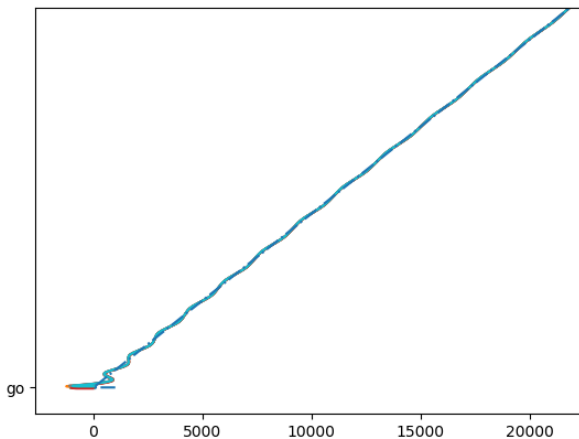


Figure – Simulation avec nouvelle règle

Evolution des vitesses

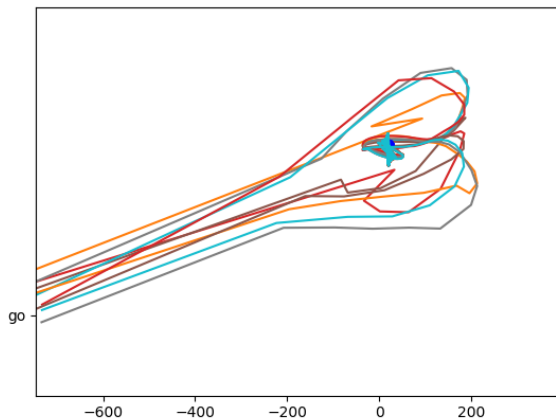


Figure – Simulation avec nouvelle règle

Evolution des vitesses

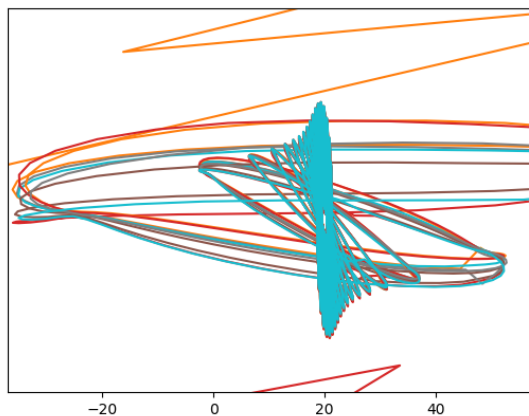


Figure – Zoom sur la figure précédente

Evolution des vitesses

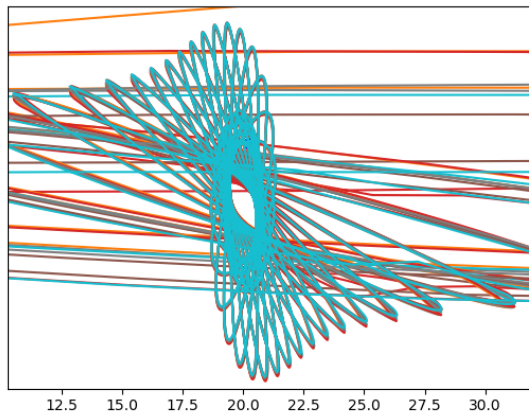


Figure – Zoom sur la figure précédente

Evolution des vitesses

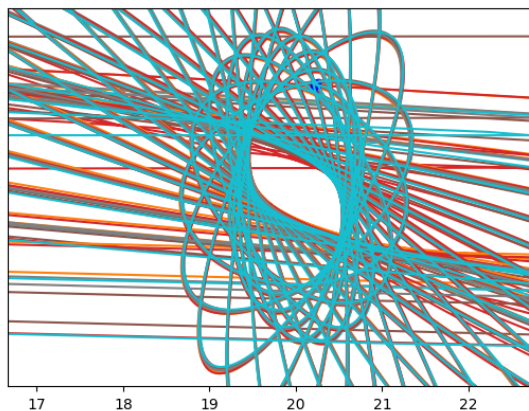


Figure – Zoom sur la figure précédente

Evolution des vitesses

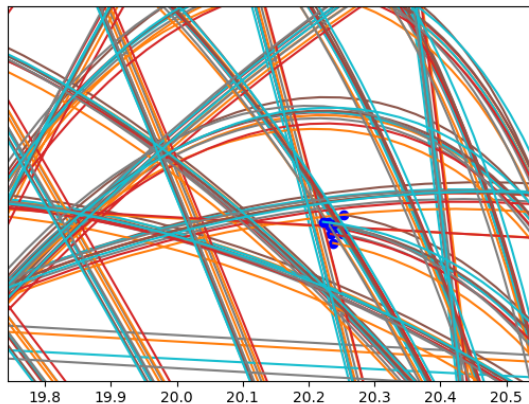


Figure – Zoom sur la figure précédente

Ajout d'obstacles

- Disques définis par la position de leur centre et leur rayon.
- Force répulsive infinie lorsque l'agent est tangent à l'obstacle.
- Force répulsive en $\frac{1}{d}$.
- Donc force de la forme $\vec{F}_{obs} = -\omega \times \frac{\vec{q}_{obs} - \vec{q}_i}{\|\vec{q}_{obs} - \vec{q}_i\|^2} \times \mathbb{1}_{\|\vec{q}_{obs} - \vec{q}_i\| < \delta}$ avec $\omega > 0$, $\vec{q}_{obs} = \vec{q}_{obs} - \frac{\vec{q}_{obs} - \vec{q}_i}{\|\vec{q}_{obs} - \vec{q}_i\|} \times r_{obs}$, δ une distance arbitrairement choisie et r_{obs} le rayon de l'obstacle.
- L'introduction de δ a pour but d'éviter une perturbation du mouvement.

Simulation avec obstacle

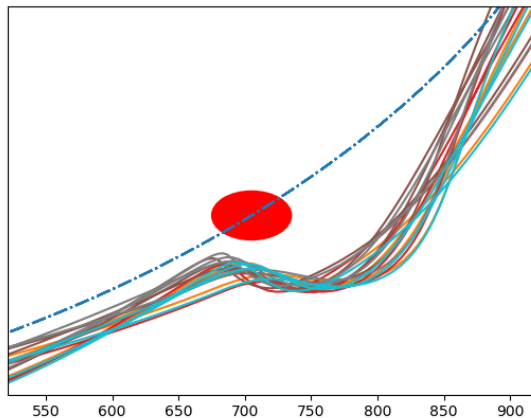


Figure – Simulation avec vitesse circulaire

Simulation avec obstacle

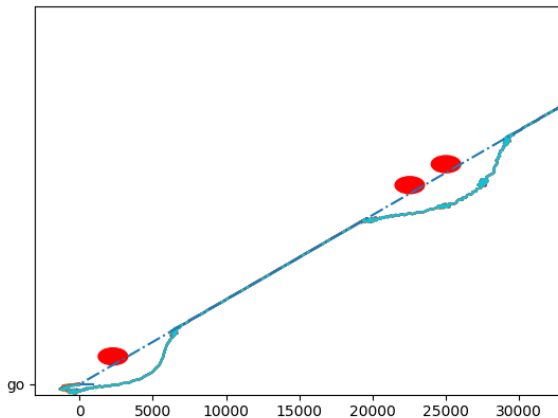


Figure – Simulation avec vitesse rectiligne uniforme

Simulation avec obstacle

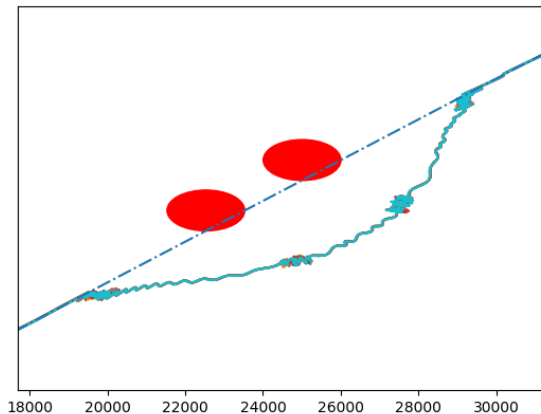


Figure – Zoom sur la figure précédente

Simulation avec obstacle

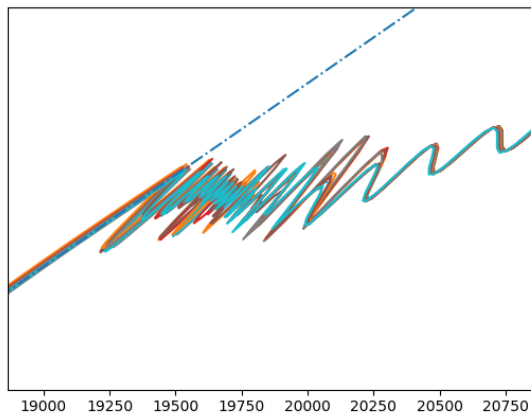


Figure – Zoom sur la figure précédente

- Oscillations dues à 2 causes.

Perturbations aléatoires

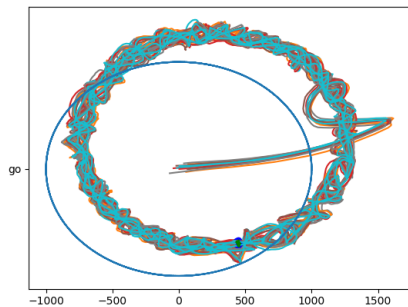


Figure – Perturbations d'amplitude 10.

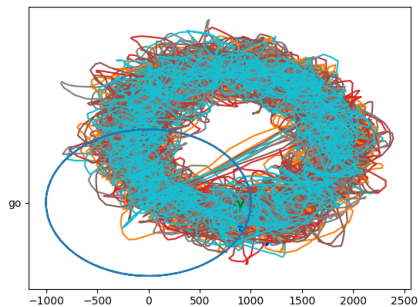


Figure – Perturbations d'amplitude 100.

- Implémentée par l'ajout d'un vecteur $[(2*\text{random}()-1)*\text{amplitude}, (2*\text{random}()-1)*\text{amplitude}]$ à la vitesse à chaque itération.
- Trajectoire transaltée
- L'allure reste correcte pour une amplitude raisonnable.

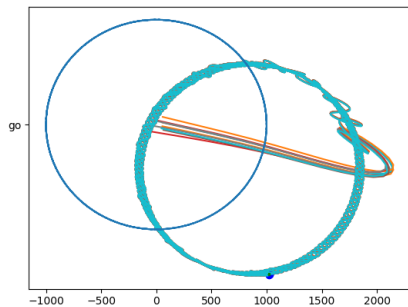


Figure – Vent de vecteur $[40, -10]$

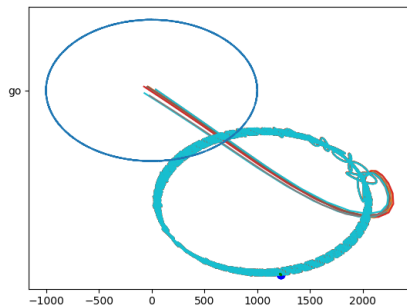


Figure – Vent de vecteur $[100, -150]$

- Implémentation par ajout d'un vecteur constant $[x, y]$ à la vitesse à chaque itération.
- Même remarques qu'avant.
- Solution éventuelle : adaptation de la vitesse de la cible à celle des agents.